

P W M I N V E R T E R에 의한  
3상 유도전동기 동작특성 해석  
*The performance characteristic of 3 phase I.M  
by PWM Inverter.*

이 윤 종  
서 기 영  
정 통 화  
김 성 학\*

한양대학교

### 1 서 론

PWM Inverter는 출력단의 전압 및 주파수를 각각 제어할 수 있고 고조파의 영향을 저감시킬수 있는 장점때문에 일반 산업계에 널리 응용되고 있으며. 이러한 추세는 고속 스위칭 소자의 개발과 제어기의 발달로 앞으로도 계속될 전망이다.  
<1>

PWM Inverter로 실제 유도전동기를 운전할 경우 유도전동기의 동작상태를 정확히 예측할 수 있어야만 정밀한 제어조직의 구성이 가능하다.

이전의 해석방법은 PWM 전압파형이 전동기에 공급되어질 때 일정주파수에서 전동기 전류와 전기적 토크의 과도 및 정상상태를 해석하였다. <2~3> 그러나 가변속전동기일 경우에는 "V/F = Cconst" 를 변화시키면서 넓은 범위에서 운전해야 한다.

PWM방식에 의한 인버터 구동시 한주기당 젤프스수가 많을수록 고조파가 감소되므로 Inverter가 단위시간에 출력할수 있는 젤프스의 수는 소자의 Turn-on/off 시간이나 제어기 능력때문에 한계가 있다. 그러므로 유도전동기를 운전할 때에는 저속 및 고속일 때의 젤프스의 수를 변화하면서 가장 손실이 적은 상태로 운전하는 것이 바람직하다. <4>

본 연구는 PWM Inverter로 3상 유도전동기를 운전할 때 입력의 여러 조건에 대한 전동기의 동작특성을 해석함으로서 가장 효율적으로 전동기를 운전할 수 있는 제어조직 구성의 가능성성을 예측 할 수 있었다.

### 2 유도전동기 동작 해석

그림 1에서 나타난 유도전동기의 일반적인 속도제어 장치로는 60Hz AC Main

을 정류하여 다시 가변주파수의 공급원으로 변환시키는 전력 Inverter이며 L1과 L2 전압을 일정하게 유지하면서 동작하는 전압원인 버퍼의 블록다이어그램을 나타낸다.

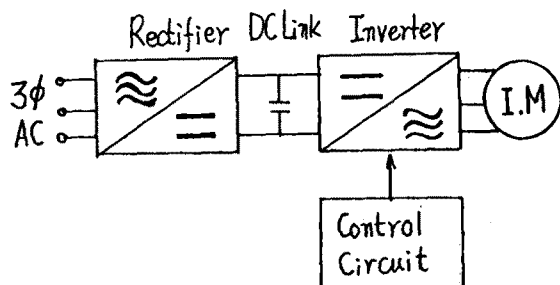


그림 1. 전압원 인버터의 블록 다이어그램

본 연구는 PWM전압파형이 전동기 단자에 공급될 때 유도전동기 과도 및 정상상태 동작이 2축 이론으로 해석될 수 있다. 해석을 쉽게하기 위해서 다음과 같이 가정한다.

1. 철심은 포화되지 않고
2. 공극이 균일하며 공극 자속분포는 정연적이다.
3. 철손은 무시한다.

고정자가 고정된 축으로 가정하면  $\theta$  가 0이 되며 일반적 2축 기계모델에 대한 방정식은 다음과 같다. <3>

$$\begin{aligned} V &= R_i i + X_{pi} i + G_i \\ &= X_{pi} i + (R + G)_i \end{aligned} \quad (1)$$

여기서

$$V = [V_{ds}, V_{qs}, V_{dr}, V_{qr}]^T$$

$$i = [i_{ds}, i_{qs}, i_{dr}, i_{qr}]^T$$

$$X = \begin{pmatrix} L_s & 0 & L_M & 0 \\ 0 & L_s & 0 & L_M \\ L_M & 0 & L_r & 0 \\ 0 & L_M & 0 & L_r \end{pmatrix} \quad G = \begin{pmatrix} 0 & 0 & 0 & 0 \\ 0 & 0 & 0 & 0 \\ 0 & L_M W_r & 0 & L_r W_r \\ -L_M W_r & 0 & -L_r W_r & 0 \end{pmatrix}$$

$$\frac{dW_r}{dt} = (T_e - T_m) / J \quad (8)$$

식(6), 식(3), 식(7) 및 식(8)로부터 전동기 운전특성 값들을 쉽게 구할 수 있다. 본 연구에서 모델로 선정한 유도전동기 상수는 다음과 같다.

$$R+G = \begin{pmatrix} Y_s & 0 & 0 & 0 \\ 0 & Y_s & 0 & 0 \\ 0 & L_M W_r & Y_r & L_r W_r \\ -L_M W_r & 0 & -L_r W_r & Y_r \end{pmatrix}$$

자속  $L_s$ 에  $\psi$ 를 전류에 의해서 표현하면 다음과 같다.

$$\psi = L_i \quad (2)$$

여기서  $\psi = [\phi_{ds}, \phi_{qs}, \phi_{dr}, \phi_{qr}]^T$  이므로 전류와 전압은 다음 식과 같다.

$$i = L^{-1} \psi \quad (3)$$

$$V = RX^{-1} + PXX^{-1}\psi + GX^{-1}\psi \\ = P\psi + F\psi \quad (4)$$

$$F = [R+G] L^{-1} = \begin{pmatrix} X_s & 0 & X_M & 0 \\ 0 & X_s & 0 & X_M \\ X_M & 0 & X_r & W_r \\ 0 & X_M & -W_r & X_r \end{pmatrix} \quad (5)$$

여기서

$$X_s = Y_s L_r / (L_s L_r - L_M^2)$$

$$X_r = Y_r L_s / (L_s L_r - L_M^2)$$

$$X_M = -Y_s L_M / (L_s L_r - L_M^2)$$

$$X_M = -Y_r L_M / (L_s L_r - L_M^2)$$

식(4)를 정의하면 다음과 같다.

$$P\psi = V - F\psi \quad (6)$$

전기적 토모그는 다음식과 같이 표현할 수 있다.

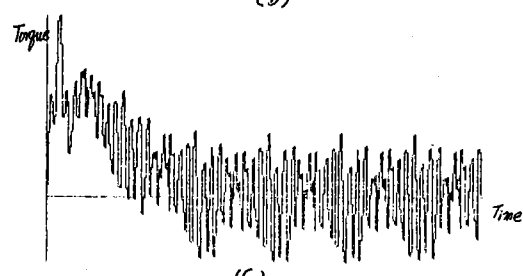
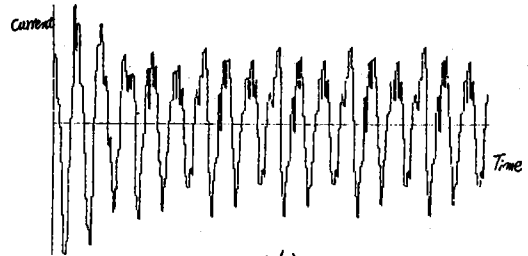
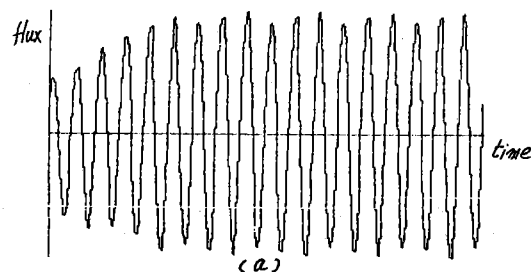
$$T_e = \phi_{qr} i_{dr} - \phi_{dr} i_{qr} \\ = \frac{L_M}{L_s L_r - L_M^2} (\phi_{qs} \phi_{dr} - \phi_{ds} \phi_{qr}) \quad (7)$$

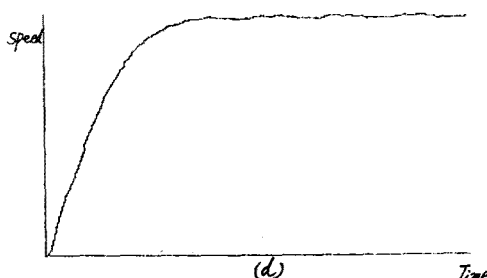
그리고 회전자 속도는 다음식에서 구할 수 있다.

#### 표. 유도전동기 상수

상수	값	상수	값
V	300 V	R <sub>s</sub>	0.642 Ω
J	0.003 kg·m <sup>2</sup>	R <sub>r</sub>	0.637 Ω
B	0.0001 N·m·sec/ <sup>1/2</sup>	FR	15
L <sub>s</sub>	0.682 mH	MD	0.9
L <sub>r</sub>	0.682 mH	t	0~3 sec
L <sub>M</sub>	0.656 mH		

3상 유도전동기 동작 해석에서 MD = 0, 9, FR = 15인 Natural PWM 방식에 의해 3sec동안 나타난 결과는 그림 2와 같다.





(d) Speed

그림 2. 동작해석 결과 ( $MD = 0.9$ ,  $FR = 15$ , Natural PWM)  
(a) Flux (b) Current (c) T  
ue (d) Speed

### 3 결 론

본 연구에서는 PWM Inverter로 3상 유도전동기를 운전 할 때 입력의 여러 조건에 대한 전동기의 동작 특성을 상세히 해석하였다.

동작 특성을 해석하기 위해 2축 모델을 사용하였으며 시스템을 실험하고 수정하기 전에 전동기 동작 특성을 예측함으로서 Inverter 등 소자의 성격을 알 수 있으며 전동기를 효율적으로 운전할 수 있는 정밀한 제어 토착구성이 가능하도록 하였다

### 참고 문헌

<1> S.R.BOWES.: 'Digital Computer Simulation of Variable Speed PWM inverter-machines drives', IEE Proc., 1983, 130 (3), pp 149-160.

<2> KRAUSE, P.C. and THOMAS, C.H.: 'Simulation of Symmetrical induction machinery', IEEE Trans., 1965, PAS-84, pp 1038-1053.

<3> 이운종, 정동화, 김경환.: 'PWM Inverter로 구동되는 유도전동기 동작해석', 대한전기학회, 1984학년 학술연구 발표회 논문 초록집, 전력전자 분야.

<4> 이운종, 정동화, 김홍명.: 'Optimal PWM Inverter로 제어되는 유도전동기의 운전에 관한 연구', 대한전기학회, 1985 학년 학술연구 발표회 논문 초록집, 전력전자 분야.